

# 轨迹规划

## 定义辨析

- 任务规划：对机器人的操作顺序、行动步骤和作业进程的规划。
- 路径规划：在给定机械臂末端初始位姿和目标位姿，在无碰撞、结构无奇异等约束条件下，按照某一性能指标（如距离、时间、能量等）搜索出一条最优或次优的路径。路径只包含空间位置点信息。
- 轨迹规划：对所规划的路径上各点的位姿、速度和加速度给出一组显式约束（如连续性和光滑程度等），从一类包含时间变量的函数中（如多项式等）选取参数化轨迹，对各点进行插值并满足约束条件。换句话说，研究的是包含时间、位置、速度、加速度等信息的轨迹生成策略。

规划指标：

- 时间：速度快、效率高
- 能耗：节能降本、电源供应受限制环境
- 平滑：运动平稳、避免结构磨损、减小振动、提高轨迹跟踪精度

## 关节空间轨迹规划

运算量小、效率高，不会发生机构的奇异性问题，但末端执行器的路径形状不可预测

### 线性插值

位置连续，速度恒定，加速度在始末点为  $\pm\infty$ ，其余处为0

数学描述由1个一阶多项式构成

$$\begin{cases} q(t) &= a_0 + a_1 t \\ \dot{q}(t) &= a_1 \\ \ddot{q}(t) &= 0 \end{cases}$$

利用位置边界条件

$$\begin{cases} q(t_0) &= q_0 \\ q(t_f) &= q_f \end{cases}$$

求解出2个未知数

$$\begin{cases} a_0 &= q_0 \\ a_1 &= \frac{1}{t_f}(q_f - q_0) \end{cases}$$

### 抛物线插值

位置连续，速度连续，加速度段内恒定，段间不连续

数学描述由2个二阶多项式分段构成

$$\begin{cases} q_a(t) &= a_0 + a_1 t + a_2 t^2, & t \in [t_0, t_b] \\ \dot{q}_a(t) &= a_1 + 2a_2 t, & t \in [t_0, t_b] \\ \ddot{q}_a(t) &= 2a_2, & t \in [t_0, t_b] \\ q_b(t) &= a_3 + a_4(t - t_b) + a_5(t - t_b)^2, & t \in [t_b, t_f] \\ \dot{q}_b(t) &= a_4 + 2a_5(t - t_b), & t \in [t_b, t_f] \\ \ddot{q}_b(t) &= 2a_5, & t \in [t_b, t_f] \end{cases}$$

利用位置和速度边界条件，以及衔接位置速度连续条件

$$\begin{cases} q_a(t_0) &= a_0 &= q_0 \\ \dot{q}_a(t_0) &= a_1 &= \dot{q}_0 \\ q_b(t_f) &= a_3 + a_4(t_f - t_b) + a_5(t_f - t_b)^2 &= q_f \\ \dot{q}_b(t_f) &= a_4 + 2a_5(t_f - t_b) &= \dot{q}_f \\ q_a(t_b) &= a_0 + a_1 t_b + a_2 t_b^2 &= a_3 &= q_b(t_b) \\ \dot{q}_a(t_b) &= a_1 + 2a_2 t_b &= a_4 &= \dot{q}_b(t_b) \end{cases}$$

求解出6个未知数

$$\begin{cases} a_0 &= & q_0 \\ a_1 &= & \dot{q}_0 \\ a_2 &= & \frac{2(q_f-q_0)-\dot{q}_0(t_f+t_b)-\dot{q}_f(t_f-t_b)}{2t_f(t_f-t_b)} \\ a_3 &= & \frac{2q_ft_b+(t_f-t_b)(2q_0+t_b(\dot{q}_0-\dot{q}_f))}{2t_f^2} \\ a_4 &= & \frac{2(q_f-q_0)-\dot{q}_0t_b-\dot{q}_f(t_f-t_b)}{t_f} \\ a_5 &= & \frac{-2(q_f-q_0)+\dot{q}_0t_b+\dot{q}_f(2t_f-t_b)}{2t_f(t_f-t_b)} \end{cases}$$

三次多项式插值

位置连续，速度连续，加速度线性，加加速度恒定，多点路径的过渡点加加速度不连续  
数学描述由1个三阶多项式构成

$$\begin{cases} q(t) &= a_0 + a_1t + a_2t^2 + a_3t^3 \\ \dot{q}(t) &= a_1 + 2a_2t + 3a_3t^2 \end{cases}$$

利用位置和速度边界条件

$$\begin{cases} q(t_0) &= a_0 &= q_0 \\ \dot{q}(t_0) &= a_1 &= \dot{q}_0 \\ q(t_f) &= a_0 + a_1t_f + a_2t_f^2 + a_3t_f^3 &= q_f \\ \dot{q}(t_f) &= a_1 + 2a_2t_f + 3a_3t_f^2 &= \dot{q}_f \end{cases}$$

求解出4个未知数

$$\begin{cases} a_0 &= q_0 \\ a_1 &= \dot{q}_0 \\ a_2 &= \frac{3}{t_f^2}(q_f-q_0) - \frac{2}{t_f}\dot{q}_0 - \frac{1}{t_f}\dot{q}_f \\ a_3 &= \frac{1}{t_f^2}(\dot{q}_f+\dot{q}_0) - \frac{2}{t_f^3}(q_f-q_0) \end{cases}$$

五次多项式插值

位置连续，速度连续，加速度连续  
数学描述由1个五阶多项式构成

$$\begin{cases} q(t) &= a_0 + a_1t + a_2t^2 + a_3t^3 + a_4t^4 + a_5t^5 \\ \dot{q}(t) &= a_1 + 2a_2t + 3a_3t^2 + 4a_4t^3 + 5a_5t^4 \\ \ddot{q}(t) &= 2a_2 + 6a_3t + 12a_4t^2 + 20a_5t^3 \end{cases}$$

利用位置、速度和加速度边界条件

$$\begin{cases} q(t_0) &= a_0 &= q_0 \\ \dot{q}(t_0) &= a_1 &= \dot{q}_0 \\ \ddot{q}(t_0) &= 2a_2 &= \ddot{q}_0 \\ q(t_f) &= a_0 + a_1t_f + a_2t_f^2 + a_3t_f^3 + a_4t_f^4 + a_5t_f^5 &= q_f \\ \dot{q}(t_f) &= a_1 + 2a_2t_f + 3a_3t_f^2 + 4a_4t_f^3 + 5a_5t_f^4 &= \dot{q}_f \\ \ddot{q}(t_f) &= 2a_2 + 6a_3t_f + 12a_4t_f^2 + 20a_5t_f^3 &= \ddot{q}_f \end{cases}$$

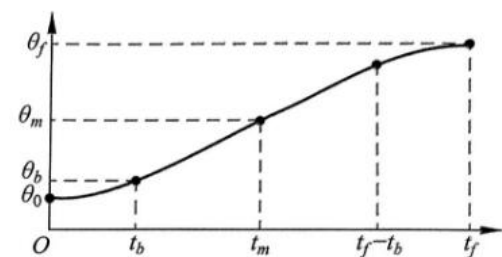
求解出6个未知数

$$\begin{cases} a_0 &= q_0 \\ a_1 &= \dot{q}_0 \\ a_2 &= 0.5\ddot{q}_0 \\ a_3 &= \frac{1}{2t_f^3}(20(q_f-q_0)-(8\dot{q}_f+12\dot{q}_0)t_f+(\ddot{q}_f-3\ddot{q}_0)t_f^2) \\ a_4 &= \frac{1}{2t_f^4}(30(q_0-q_f)+(14\dot{q}_f+16\dot{q}_0)t_f-(2\ddot{q}_f-3\ddot{q}_0)t_f^2) \\ a_5 &= \frac{1}{2t_f^5}(12(q_f-q_0)-6(\dot{q}_f+\dot{q}_0)t_f+(\ddot{q}_f-\ddot{q}_0)t_f^2) \end{cases}$$

## T型速度曲线

thanks 浅谈机器人中的轨迹规划

位置连续，速度连续，加速度在变速段恒定，匀速段为0，全程不连续，属于时间最优的规划算法  
数学描述由1个一阶多项式和2个二阶多项式分段构成，匀加速->匀速->匀减速



(与蔡自兴老师《机器人学》定义基本一致，但此处推导增加边界速度非零的约束)

假定加速段和减速段对称，加速段结束时刻对应物理量的下标均为  $b$ ，全程中间时刻对应物理量的下表均为  $m$   
由加速段与匀速段的衔接点物理量相等可得

$$\begin{cases} q_b &= q_0 + \dot{q}_0 t_b + \frac{1}{2} \ddot{q}_b t_b^2 \\ \dot{q}_b &= \dot{q}_0 + \ddot{q}_b t_b \end{cases} = \frac{q_m - q_b}{t_m - t_b}$$

根据轨迹对称性，可知中点处

$$\begin{cases} q_m = \frac{1}{2}(q_0 + q_f) \\ t_m = \frac{1}{2}t_f \end{cases}$$

代入化简，求得单个变速段耗时

$$t_b = \frac{t_f}{2} - \frac{\sqrt{\ddot{q}_b^2 t_f^2 + 4\ddot{q}_b(\dot{q}_0 t_f + q_0 - q_f)}}{2\ddot{q}_b}$$

由此引出加速度的合法取值范围

$$\ddot{q}_b \geq \frac{4(q_f - q_0 - \dot{q}_0 t_f)}{t_f^2}$$

上式取等号时，退化成仅含加速段和减速段的三角形速度曲线；加速度无穷大时，退化成仅含匀速段的线性插值。  
综上，轨迹的数学描述为

$$q(t) = \begin{cases} q_0 + \dot{q}_0 t + 0.5 \ddot{q}_b t^2, & t \in [0, t_b] \\ q_0 - \dot{q}_0 t + \ddot{q}_b t_b(t - 0.5t_b), & t \in [t_b, t_f - t_b] \\ q_f - \dot{q}_0(t_f - t) - 0.5 \ddot{q}_b(t_f - t)^2, & t \in [t_f - t_b, t_f] \end{cases}$$

实际应用中，往往无法预知全程耗时，因此常采用最大速度和最大加速度约束，求解各段耗时

- 若能达到最大速度，包含匀速段

$$\begin{cases} t_b &= \frac{\dot{q}_b - \dot{q}_0}{\ddot{q}_b} \\ t_f &= \frac{q_f - q_0}{\dot{q}_b} + \frac{\dot{q}_b - \dot{q}_0}{\ddot{q}_b \dot{q}_b}, \quad t_f \geq 2t_c \end{cases}$$

- 若未达到最大速度，不含匀速段

$$\begin{cases} t_b &= \sqrt{\frac{q_f - q_0}{\ddot{q}_b}} \\ t_f &= 2t_c \end{cases}$$

## 指数型速度曲线

(todo)

## S型速度曲线

位置连续，速度连续，加速度连续，加加速度不连续

数学描述由1个一阶多项式、2个二阶多项式和4个三阶多项式分段构成，加加速->匀加速->减加速->匀速->加减速->匀减速->减减速

thanks <<六自由度机器人轨迹规划算法研究>> chapter3

设最大加加速度  $J_{max}$  , 最大加速度为  $A_{max}$  , 最大速度为  $V_{max}$  , 构造函数如下

$$J(t) = \begin{cases} J_{max}, & t \in [0, t_1) \\ 0, & t \in [t_1, t_2) \\ -J_{max}, & t \in [t_2, t_3) \\ 0, & t \in [t_3, t_4) \\ -J_{max}, & t \in [t_4, t_5) \\ 0, & t \in [t_5, t_6) \\ J_{max}, & t \in [t_6, t_7] \end{cases}$$

$$A(t) = \begin{cases} J_{max}t, & t \in [0, t_1) \\ A_{max}, & t \in [t_1, t_2) \\ A_{max} - J_{max}(t - t_2), & t \in [t_2, t_3) \\ 0, & t \in [t_3, t_4) \\ -J_{max}(t - t_4), & t \in [t_4, t_5) \\ -A_{max}, & t \in [t_5, t_6) \\ -A_{max} + J_{max}(t - t_6), & t \in [t_6, t_7] \end{cases}$$

$$V(t) = \begin{cases} V_0 + 0.5J_{max}t^2, & t \in [0, t_1), V(t_1) = V_1 \\ V_1 + A_{max}(t - t_1), & t \in [t_1, t_2), V(t_2) = V_2 \\ V_2 + A_{max}(t - t_2) - 0.5J_{max}(t - t_2)^2, & t \in [t_2, t_3), V(t_3) = V_3 \\ V_3, & t \in [t_3, t_4), V(t_4) = V_4 \\ V_4 - 0.5J_{max}(t - t_4)^2, & t \in [t_4, t_5), V(t_5) = V_5 \\ V_5 - A_{max}(t - t_5), & t \in [t_5, t_6), V(t_6) = V_6 \\ V_6 - A_{max}(t - t_6) + 0.5J_{max}(t - t_6)^2, & t \in [t_6, t_7], V(t_7) = V_7 \end{cases}$$

$$S(t) = \begin{cases} V_0t + \frac{1}{6}J_{max}t^3, & t \in [0, t_1), S(t_1) = S_1 \\ S_1 + V_1(t - t_1) + 0.5A_{max}(t - t_1)^2, & t \in [t_1, t_2), S(t_2) = S_2 \\ S_2 + V_2(t - t_2) + 0.5A_{max}(t - t_2)^2 - \frac{1}{6}J_{max}(t - t_2)^3, & t \in [t_2, t_3), S(t_3) = S_3 \\ S_3 + V_3(t - t_3), & t \in [t_3, t_4), S(t_4) = S_4 \\ S_4 + V_4(t - t_4) - \frac{1}{6}J_{max}(t - t_4)^3, & t \in [t_4, t_5), S(t_5) = S_5 \\ S_5 + V_5(t - t_5) - 0.5A_{max}(t - t_5)^2, & t \in [t_5, t_6), S(t_6) = S_6 \\ S_6 + V_6(t - t_6) - 0.5A_{max}(t - t_6)^2 + \frac{1}{6}J_{max}(t - t_6)^3, & t \in [t_6, t_7], S(t_7) = S_7 \end{cases}$$

- 六段规划, 无匀速段

当位移距离满足  $(\sum_1^7 S_i - S_4) < S < \sum_1^7 S_i$  时, 由于存在匀加速段而没有匀速段, 则可以达到最大加速度  $A_{max}$  , 但达不到最大速度  $V_{max}$  , 设修正最大速度  $V_{nm}$  为

$$V_{nm} = \frac{1}{2}(\sqrt{(\frac{A_{max}^2}{J_{max}})^2 + 4A_{max}S} - \frac{A_{max}^2}{J_{max}})$$

需要调整的时间为  $t_4 - t_3 = 0$

- 五段规划, 无匀加速与匀减速阶段

当位移距离满足  $S > 2V_{max}\sqrt{\frac{V_{max}}{J_{max}}}$  &  $V_{max} \leq A_{max}^2/J_{max}$  时, 则可以达到  $V_{max}$  , 由于没有匀加速阶段, 所以达不到最大加速度  $A_{max}$  , 设修正的最大加速度  $A_{nm}$  为

$$A_{nm} = \sqrt{V_{max}J_{max}}$$

需要调整的时间为  $t_2 - t_1 = t_6 - t_5 = 0$

$$t_4 - t_3 = \frac{S}{V_{max}} - 2\sqrt{\frac{V_{max}}{J_{max}}}$$

- 四段规划, 无匀加速、匀减速阶段和匀速阶段

当位移距离满足  $S > S_1 + S_3 + S_5 + S_7$  时, 由于既没有匀速阶段, 又没有匀加速阶段, 所以达不到最大速度  $V_{max}$  , 也达不到最大加速度  $A_{max}$  , 设修正的最大加速度  $A_{nm}$  为

$$A_{nm} = \sqrt[3]{\frac{SJ_{max}^2}{2}}$$

修正后最大速度  $V_{nm}$  为

$$V_{nm} = J_{max} t_1^2$$

需要调整的时间为  $t_2 - t_1 = t_4 - t_3 = t_6 - t_5 = 0$

若边界速度非零，可参考[《全类型非对称七段式S型曲线加减速控制算法研究》](#)

## 正余弦速度曲线

位置连续，速度连续，加速度连续，加加速度不连续

数学描述由1个一阶多项式和2个正余弦多项式分段构成，变加速->匀速->变减速

thanks [《一种新型柔性加减速算法》](#)

定义  $S$  为期望总位移， $V_{max}$  为期望最大速度约束， $A_{max}$  为期望最大加速度约束， $V_s$  为起始速度约束， $V_e$  为终止速度约束， $S_1$  为加速段的总位移， $S_3$  为减速段的总位移。

考虑到正余弦函数具有无限次连续可导的特性，令变速段速度与时间的余弦成正比，加速度与时间的正弦成正比，加加速度连续有界，也即构造  $1 - \cos(t)$  作为速度的数学表达式， $1 - \cos(t)$  的导数  $\sin(t)$  作为加速度的数学表达式。此处直接给出构造结果

- 加速段
  - 总耗时:  $T_1 = \frac{V_{max}-V_s}{2A_{max}}$
  - 加加速度:  $j(t) = \frac{A_{max}*\pi}{T_1} \cos(\frac{t}{T_1}\pi)$
  - 加速度:  $a(t) = A_{max} \sin(\frac{t}{T_1}\pi)$
  - 速度:  $v(t) = A_{max}T_1(1 - \cos(\frac{t}{T_1}\pi)) + V_s$
  - 位移:  $s(t) = A_{max}T_1(t - \frac{T_1}{\pi} \sin(\frac{t}{T_1}\pi)) + V_s t$
- 匀速段
  - 总耗时:  $T_2 = \frac{S-S_1-S_3}{V_{max}}$
  - 加加速度:  $j(t) = 0$
  - 加速度:  $a(t) = 0$
  - 速度:  $v(t) = V_{max}$
  - 位移:  $s(t) = V_{max}t$
- 减速段
  - 总耗时:  $T_3 = \frac{V_{max}-V_e}{2A_{max}}$
  - 加加速度:  $j(t) = -\frac{A_{max}*\pi}{T_3} \cos(\frac{t}{T_3}\pi)$
  - 加速度:  $a(t) = -A_{max} \sin(\frac{t}{T_3}\pi)$
  - 速度:  $v(t) = -A_{max}T_3(1 - \cos(\frac{t}{T_3}\pi)) + V_{max}$
  - 位移:  $s(t) = -A_{max}T_3(t - \frac{T_3}{\pi} \sin(\frac{t}{T_3}\pi)) + V_{max}t$

thanks [《基于函数逼近的三角函数加减速方法》](#)

在算力有限的平台，可使用切比雪夫多项式逼近  $\sin$  或  $\cos$  函数

- 加速段
  - 总耗时:  $T_1 = \frac{3(V_{max}-V_s)}{2A_{max}}$
  - 加加速度:  $j(t) = 4A_{max}(\frac{1}{T_1} - \frac{2t}{T_1^2})$
  - 加速度:  $a(t) = 4A_{max}(\frac{t}{T_1} - (\frac{t}{T_1})^2)$
  - 速度:  $v(t) = 4A_{max}(\frac{t^2}{2T_1} - \frac{t^3}{3T_1^2}) + V_s$
  - 位移:  $s(t) = 2A_{max}(\frac{t^3}{3T_1} - \frac{t^4}{6T_1^2}) + V_s t$
- 匀速段
  - 总耗时:  $T_2 = \frac{S-S_1-S_3}{V_{max}}$
  - 加加速度:  $j(t) = 0$
  - 加速度:  $a(t) = 0$
  - 速度:  $v(t) = V_{max}$
  - 位移:  $s(t) = V_{max}t$
- 减速段
  - 总耗时:  $T_3 = \frac{3(V_{max}-V_e)}{2A_{max}}$
  - 加加速度:  $j(t) = -4A_{max}(\frac{1}{T_3} - \frac{2t}{T_3^2})$
  - 加速度:  $a(t) = -4A_{max}(\frac{t}{T_3} - (\frac{t}{T_3})^2)$
  - 速度:  $v(t) = -4A_{max}(\frac{t^2}{2T_3} - \frac{t^3}{3T_3^2}) + V_{max}$
  - 位移:  $s(t) = -2A_{max}(\frac{t^3}{3T_3} - \frac{t^4}{6T_3^2}) + V_{max}t$

# 笛卡尔空间轨迹规划

计算量大、效率低，会遇到机构的奇异性问题，末端路径可预测

## 直线规划

- 计算起点和终点间位置的欧式距离
- 计算起点和终点间姿态的四元数或轴角向量
- 计算起点和终点间各附加轴线位移或角位移
- 根据机器人最大线速度、最大角速度约束，初步估算运动耗时最长的轴组
- 将耗时最长轴组的运动参数归一化，作为参考虚轴
- 对参考虚轴执行速度规划算法，求解相关参数，确定规划函数的数学表达
- 每个插补周期实时计算虚轴的位置、速度、加速度的进给比例  $\lambda \in [0, 1]$
- 各轴组根据虚轴的进给比例，对坐标进行等比例线性插值，得到当前周期的位姿

$$p_i = p_0 + \lambda(p_f - p_0)$$

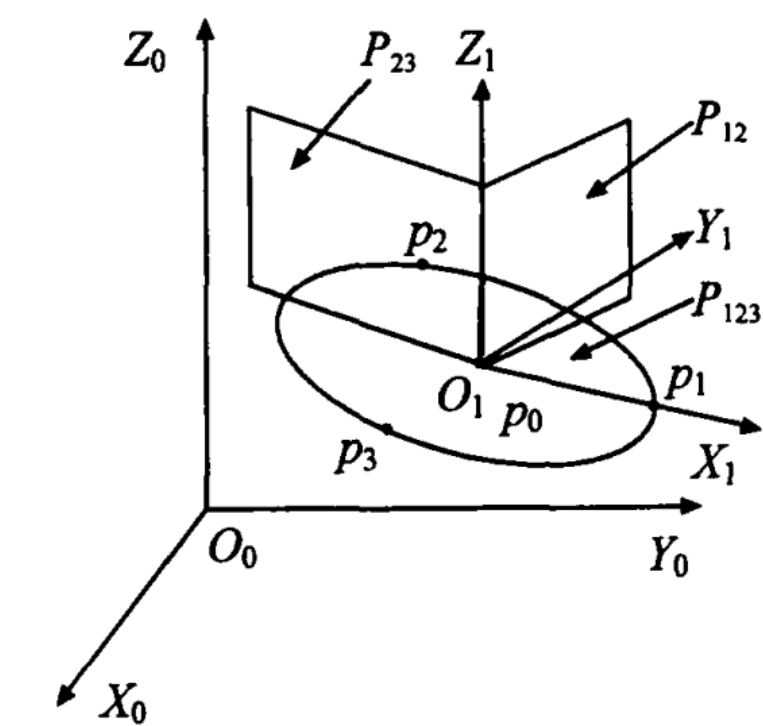
- 实轴位姿描述转换：进给线位移分解到xyz，进给轴角姿态或四元数姿态等效到旋转矩阵或rpy角
- 通过运动学逆解，将得到的笛卡尔空间位姿转换为关节空间坐标
- 将关节坐标通过各自齿轮比或脉冲当量映射到电机空间，下发给电机执行

## 圆弧规划

步骤与直线规划大体相同，只需将直线规划中的位移替换成圆弧规划中的圆心角。每个插补周期到来时，在圆弧所在二维空间平面，通过速度规划算法控制圆心角的进给，再将二维圆弧的插补点转换回三维基坐标系的机器人位姿，最终形成圆弧轨迹。  
比直线规划多的内容，主要是依据给定条件，确定圆弧描述方程，计算出圆心、半径和圆心角。

thanks [《六自由度串联机器人运动优化与轨迹跟踪控制研究》](#)

### 已知弧上三点坐标



弧上三点  $p_1 p_2 p_3$  确定一个平面  $P_{123}$ ，设外接圆方程为

$$\begin{cases} k_{11}x + k_{12}y + k_{13}z + k_{14} = 0 \\ k_{11} = (y_1 - y_3)(z_2 - z_3) - (y_2 - y_3)(z_1 - z_3) \\ k_{12} = (z_1 - z_3)(x_2 - x_3) - (z_2 - z_3)(x_1 - x_3) \\ k_{13} = (x_1 - x_3)(y_2 - y_3) - (x_2 - x_3)(y_1 - y_3) \\ k_{14} = -(k_{11}x_3 + k_{12}y_3 + k_{13}z_3) \end{cases}$$

$p_1 p_2$  的中垂面  $P_{12}$  方程为

$$\begin{cases} k_{21}x + k_{22}y + k_{23}z + k_{24} = 0 \\ k_{21} = x - 2 - x_1 \\ k_{22} = y_2 - y_1 \\ k_{23} = z_2 - z_1 \\ k_{24} = -0.5((x_2^2 - x_1^2) + (y_2^2 - y_1^2) + (z_2^2 - z_1^2)) \end{cases}$$

$p_2$   $p_3$  的中垂面  $P_{23}$  方程为

$$\begin{cases} k_{31}x + k_{32}y + k_{33}z + k_{34} = 0 \\ k_{31} = x - 3 - x_2 \\ k_{32} = y_3 - y_2 \\ k_{33} = z_3 - z_2 \\ k_{34} = -0.5((x_3^2 - x_2^2) + (y_3^2 - y_2^2) + (z_3^2 - z_2^2)) \end{cases}$$

圆心  $p_0 = [x_0, y_0, z_0]^T$  为上述三平面的交点

$$\begin{bmatrix} k_{11} & k_{12} & k_{13} \\ k_{21} & k_{22} & k_{23} \\ k_{31} & k_{32} & k_{33} \end{bmatrix} \begin{bmatrix} x_0 \\ y_0 \\ z_0 \end{bmatrix} = \begin{bmatrix} -k_{14} \\ -k_{24} \\ -k_{34} \end{bmatrix}$$

$$\begin{bmatrix} x_0 \\ y_0 \\ z_0 \end{bmatrix} = \begin{bmatrix} k_{11} & k_{12} & k_{13} \\ k_{21} & k_{22} & k_{23} \\ k_{31} & k_{32} & k_{33} \end{bmatrix}^{-1} \begin{bmatrix} -k_{14} \\ -k_{24} \\ -k_{34} \end{bmatrix}$$

外接圆的半径

$$r = \sqrt{(x_0 - x_1)^2 + (y_0 - y_1)^2 + (z_0 - z_1)^2}$$

以圆心  $p_0$  为原点  $O_1$  , 建立新坐标系  $O_1X_1Y_1Z_1$  , 其中  $O_1X_1$  、  $O_1Y_1$  、  $O_1Z_1$  为两两正交的坐标轴。

$O_1X_1$  方向与  $O_1p_1$  方向一致, 因此  $O_1X_1$  在基坐标系中的方向余弦为

$$\vec{n}_1 = \frac{[x_1 - x_0, y_1 - y_0, z_1 - z_0]^T}{r}$$

$O_1Z_1$  方向与平面  $P_{123}$  法向量  $[k_{11}, k_{12}, k_{13}]^T$  一致, 因此  $O_1Z_1$  在基坐标系中的方向余弦为

$$\vec{a}_1 = \frac{[k_{11}, k_{12}, k_{13}]^T}{|\sqrt{k_{11}^2 + k_{12}^2 + k_{13}^2}|}$$

$O_1Y_1$  根据右手定则确定, 在基坐标系中的方向余弦为

$$\vec{o}_1 = \vec{a}_1 \times \vec{n}_1$$

此时可得  $O_1X_1Y_1Z_1$  到  $O_0X_0Y_0Z_0$  的齐次变换矩阵

$${}^0_1T = \begin{bmatrix} n_1 & o_1 & a_1 & p_0 \\ 0 & 0 & 0 & 1 \end{bmatrix}$$

将三维圆弧降维到  $O_1X_1Y_1Z_1$  坐标系的  $X_1O_1Y_1$  面。利用坐标变换矩阵, 将已知条件中基坐标系的圆弧路径点投影到新坐标系

$$\begin{bmatrix} u_i \\ v_i \\ w_i \\ 1 \end{bmatrix} = {}^0_1T^{-1} \begin{bmatrix} x_i \\ y_i \\ z_i \\ 1 \end{bmatrix}$$

根据  $p_1$   $p_2$   $p_3$  的顺序确定进给方向, 并计算夹角

$$\begin{cases} \angle p_1O_1p_2 = \arctan 2(v_{21y}, u_{21x}) + \lambda_1 \times 2\pi \\ \angle p_1O_1p_3 = \arctan 2(v_{31y}, u_{31x}) + \lambda_2 \times 2\pi \end{cases}$$

当  $\arctan 2(v_{21y}, u_{21x}) < 0$  时,  $\lambda_1 = 0$  , 否则  $\lambda_1 = 1$  ; 当  $\arctan 2(v_{31y}, u_{31x}) < 0$  时,  $\lambda_2 = 0$  , 否则  $\lambda_2 = 1$  。若  $\angle p_1O_1p_2 < \angle p_1O_1p_3$  , 则为逆时针运动, 圆心角  $\Omega = \angle p_1O_1p_3$  ; 否则为顺时针运动, 圆心角  $\Omega = 2\pi - \angle p_1O_1p_3$  。

此时已获得圆弧在  $O_1X_1Y_1Z_1$  坐标系中的路径点、圆心、半径、方向和圆心角, 可进行速度规划插补。插值点坐标

$$\begin{bmatrix} u_i \\ v_i \\ w_i \end{bmatrix} = \begin{bmatrix} r \cos(s_{dir}\omega t_i) \\ r \sin(s_{dir}\omega t_i) \\ 0 \end{bmatrix}$$

其中， $s_{dir}$  为方向系数，逆时针  $s_{dir} = 1$ ，顺时针  $s_{dir} = -1$ 。 $\omega$  为角速度， $t_i \in [0, t]$  为当前插补时间， $t = \frac{\theta}{\omega}$  为运动总耗时。

最后将插值点转换回基坐标系

$$\begin{bmatrix} x_i \\ y_i \\ z_i \\ 1 \end{bmatrix} = {}^0_1 T \begin{bmatrix} u_i \\ v_i \\ w_i \\ 1 \end{bmatrix}$$

### 已知弧上两点和圆心坐标

复杂公式略（可参考已知弧上三点情况的公式），步骤如下：

- 圆心与两点分别连线，得两个向量
- 计算任一向量模长，得半径
- 用余弦定理算两向量夹角，得圆心角
- 确定圆弧方向
- 三点确定平面，以圆心为原点构建新坐标系
- 起点连线为x轴，向量叉乘为z轴，右手定则得y轴
- 通过速度规划算法，以圆心角为总路程做周期插补，计算插补点坐标
- 坐标转换回基坐标系

### 已知弧上两点和圆弧半径

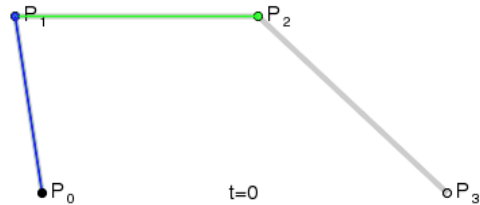
复杂公式略（可参考已知弧上三点情况的公式），步骤如下：

- 两点连线，得弦向量a
- 计算向量a模长，得弦长
- 计算弦中点坐标
- 圆心和弦中点连线，利用勾股定理，根据半径和弦长，算垂线h
- 构造垂直于向量a的单位向量b
- 圆心在弦中垂线上，用弦中点和向量b，算圆心坐标
- 圆心与两点分别连线，得两个向量
- 用余弦定理算两向量夹角，得圆心角
- 确定圆弧方向
- 三点确定平面，以圆心为原点构建新坐标系
- 起点连线为x轴，向量叉乘为z轴，右手定则得y轴
- 通过速度规划算法，以圆心角为总路程做周期插补，计算插补点坐标
- 坐标转换回基坐标系

## 贝塞尔曲线规划

### 已知控制点

### 已知型值点



## NURBS曲线规划

### 已知控制点

### 已知型值点

## 关于姿态插补

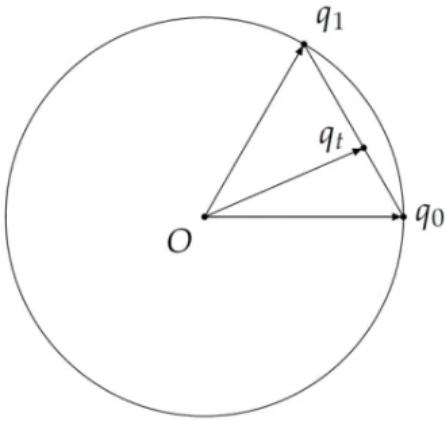
先将起点到终点的姿态转为两个单位四元数描述再插值

- 四元数线性插值Lerp



$$q_i = Lerp(q_0, q_1, \frac{t_i}{t}) = (1 - \frac{t_i}{t})q_0 + \frac{t_i}{t}q_1$$

由于是沿着圆（超球面）上的弦进行插值，这样插值的结果不是单位四元数，不满足要求

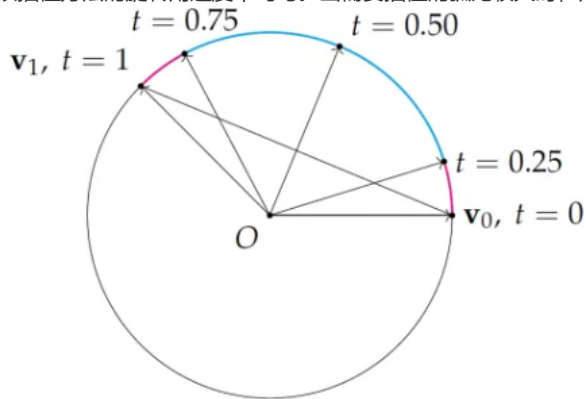


- 四元数归一化线性插值Nlerp

对两个单位四元数先进行线性插值，再除以模长进行归一化

$$q_i = Nlerp(q_0, q_1, \frac{t_i}{t}) = \frac{(1 - \frac{t_i}{t})q_0 + \frac{t_i}{t}q_1}{|(1 - \frac{t_i}{t})q_0 + \frac{t_i}{t}q_1|}$$

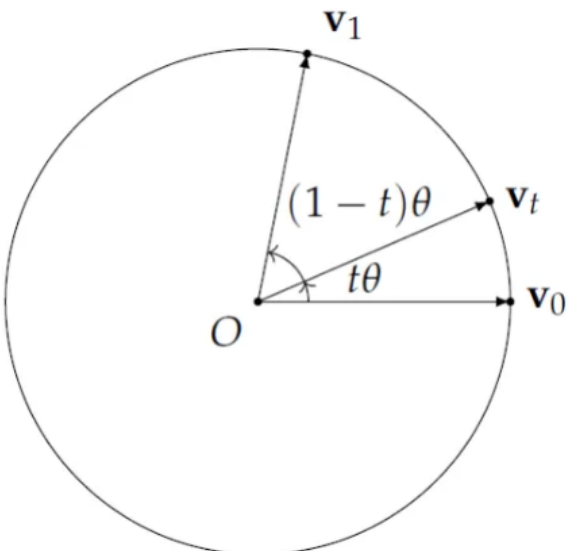
该插值方法的旋转角速度不均匀。当需要插值的弧比较大时，角速度会有显著的变化。



- 四元数球面线性插值Slerp

对两个单位四元数的夹角  $\theta$  进行线性插值，确保旋转角速度的均匀性

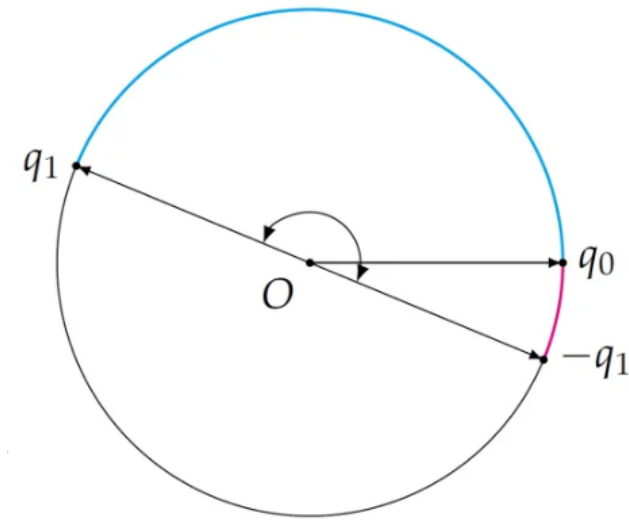
$$\begin{cases} \theta = \arccos(q_0 \cdot q_1) \\ q_i = Slerp(q_0, q_1, \frac{t_i}{t}) = \frac{\sin((1 - \frac{t_i}{t})\theta)}{\sin \theta} q_0 + \frac{\sin(\frac{t_i}{t}\theta)}{\sin \theta} q_1 \end{cases}$$



tips: 单位四元数  $q$  和  $-q$  对应的是同一个旋转, 对向量变换的最终结果是完全形同的, 但作为向量相差  $\pi$  弧度

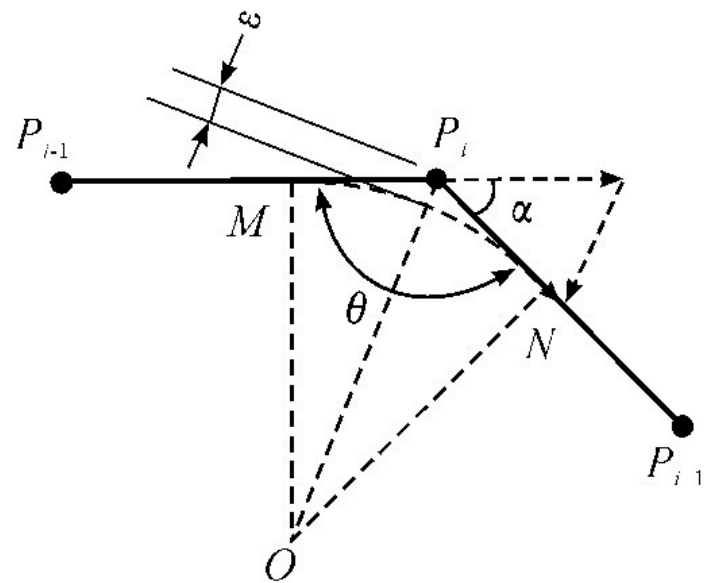
$$v' = qvq^* = qvq^{-1}$$

两个单位四元数  $q_0$  和  $q_1$  进行插值之前, 需先通过检测点乘结果判断夹角是否为钝角。若  $q_1 \cdot q_1 < 0$  , 说明夹角大于 $180^\circ$  , 应将  $q_1$  改为  $-q_1$  , 使用新夹角进行插值, 保证插值的路径最短。



## 轨迹前瞻

### 单段前瞻



根据两条线段  $P_{i-1}P_i$   $P_iP_{i+1}$ , 获知三点坐标

$$\begin{cases} P_{i-1} = [x_{i-1}, y_{i-1}, z_{i-1}] \\ P_i = [x_i, y_i, z_i] \\ P_{i+1} = [x_{i+1}, y_{i+1}, z_{i+1}] \end{cases}$$

计算两个单位向量

$$\begin{cases} \vec{a} = \frac{P_{i-1}P_i}{|P_{i-1}P_i|} = \frac{[x_i-x_{i-1}, y_i-y_{i-1}, z_i-z_{i-1}]}{\sqrt{(x_i-x_{i-1})^2+(y_i-y_{i-1})^2+(z_i-z_{i-1})^2}} \\ \vec{b} = \frac{P_iP_{i+1}}{|P_iP_{i+1}|} = \frac{[x_{i+1}-x_i, y_{i+1}-y_i, z_{i+1}-z_i]}{\sqrt{(x_{i+1}-x_i)^2+(y_{i+1}-y_i)^2+(z_{i+1}-z_i)^2}} \end{cases}$$

根据余弦定理, 计算出两个单位向量的夹角

$$\cos \alpha = \frac{\vec{a} \cdot \vec{b}}{|\vec{a}||\vec{b}|} = \frac{x_ax_b + y_ay_b + z_az_b}{\sqrt{x_a^2 + y_a^2 + z_a^2}\sqrt{x_b^2 + y_b^2 + z_b^2}}$$

注意两个向量的方向，考虑是否需要更新为夹角的补角

$$\cos \theta = \cos(\pi - \alpha) = -\cos \alpha$$

构造虚拟内切圆， $r$  为内切圆半径， $\varepsilon$  为轮廓误差，根据几何关系可知

$$\sin \frac{\theta}{2} = \frac{r}{r + \varepsilon}$$

计算圆弧半径

$$r = \frac{\varepsilon \sin \frac{\theta}{2}}{1 - \sin \frac{\theta}{2}} = \frac{\varepsilon \sqrt{\frac{1 - \cos \theta}{2}}}{1 - \sqrt{\frac{1 - \cos \theta}{2}}}$$

注意修正圆弧切点到线段拐点的距离  $MP_i$  或  $NP_i$ ，不可超过任一线段半长

$$s_c = \min(\frac{|\vec{P_{i-1}P_i}|}{2}, \frac{|\vec{P_iP_{i+1}}|}{2}, \frac{r}{\tan \frac{\theta}{2}})$$

$$r = s_c \tan \frac{\theta}{2} = s_c \sqrt{\frac{1 - \cos \theta}{1 + \cos \theta}}$$

根据圆弧切向速度和向心加速度公式，分别代入两线段的加速度值，计算切向速度

$$\begin{cases} v_c = \omega r = \frac{2\pi r}{T} \\ a_c = \omega^2 r \end{cases} \Rightarrow v_c = \sqrt{a_c r}$$

根据其他运动约束，如线段首尾速度限制等，挑选出最小速度作为最终安全的拐角速度

若涉及圆弧曲线或样条曲线等非直线路径的衔接，应先计算曲线在衔接处的切线，使用等效切线段参与前瞻规划  
[连续多类型曲线段进给速度前瞻规划](#)

## 多段前瞻

## 双向前瞻

《[基于双向扫描算法的小线段速度规划](#)》

## 补充

- bezier曲线和NURBS曲线
- 前瞻

[机械臂笛卡尔空间规划](#)